

ОБЪЕДИНЕННЫЙ  
ИНСТИТУТ  
ЯДЕРНЫХ  
ИССЛЕДОВАНИЙ  
ДУБНА



П-13

P2 - 8133

9/11-74

А.С.Пак, А.В.Тарасов

4745 / 2-74

ОБ УЧЕТЕ НЕСТАБИЛЬНОСТИ В РЕАКЦИЯХ  
НЕКОГЕРЕНТНОГО РОЖДЕНИЯ РЕЗОНАНСОВ  
НА ЯДРАХ

**1974**

ЛАБОРАТОРИЯ ЯДЕРНЫХ ПРОБЛЕМ

P2 - 8133

А.С.Пак,\* А.В.Тарасов

ОБ УЧЕТЕ НЕСТАБИЛЬНОСТИ В РЕАКЦИЯХ  
НЕКОГЕРЕНТНОГО РОЖДЕНИЯ РЕЗОНАНСОВ  
НА ЯДРАХ

*Направлено в ЯФ*

---

\* ИЯФ АН УзССР, Ташкент

Объединенный институт  
ядерных исследований  
БИБЛИОТЕКА

Пак А.С., Тарасов А.В.

P2 - 8133

Об учете нестабильности в реакциях некогерентного рождения резонансов на ядрах

Показано, что учет эффектов нестабильности  $\rho^0$  и  $f^0$ -мезонов в реакциях  $\pi^{-(+)}A \rightarrow \rho^0(f^0)A'$  позволяет согласовать данные работ /1,5,6/ с ожидаемыми значениями для полных сечений  $\rho N$ - и  $fN$ -взаимодействия.

Препринт Объединенного института ядерных исследований.  
Дубна, 1974

Pak A.S., Tarasov A.V.

P2 - 8133

On the Calculation of Instability in Reactions of Incoherent Particle Production on Nuclei

Considering of the effects of instability of  $\rho^0$ - and  $f^0$ -mesons in the reactions  $\pi^{-(+)}A \rightarrow \rho^0(f^0)A'$  shows to permit one to fit the data given in refs. /1,5,6/ to values expected for  $\rho N$ - and  $fN$ -total cross sections.

Preprint. Joint Institute for Nuclear Research.  
Dubna, 1974

При анализе данных по рождению нестабильных частиц /резонансов/ на ядерных мишенях эффектами нестабильности рождающихся частиц обычно пренебрегают и полагается, что практически все резонансы, родившиеся в ядре, распадаются вне его. В случае очень высоких энергий такое предположение оправдано, поскольку доля частиц, распавшихся в ядре, составляет величину порядка  $x = \frac{\lambda}{\ell}$ , которая обычно мала и быстро падает с ростом энергии ( $\lambda = (\rho_0 \sigma)^{-1}$  - длина свободного пробега нестабильной частицы в ядре,  $\rho_0$  - средняя плотность ядерной материи,  $\sigma$  - полное сечение взаимодействия нестабильной частицы с нуклонами,  $\rho$ ,  $m$ ,  $\Gamma$  - соответственно, импульс, масса и ширина нестабильной частицы, а  $\ell = \rho/m\Gamma$  - ее распадная длина).

При энергиях порядка нескольких ГэВ эффект нестабильности может оказаться ощутимым особенно при рождении частиц с малым сечением взаимодействия с нуклонами и, следовательно, большой длиной свободного пробега.

Согласно результатам анализа данных по глубоконеупругому рассеянию электронов протонами в рамках обобщенной модели векторной доминантности, к таким частицам могут относиться продольно-поляризованные векторные мезоны  $\rho^0$ ,  $\omega$ ,  $\phi$  /1/. Сечение взаимодействия последних с нуклонами ( $\sigma_L^{VN}$ ), по оценкам, приведенным в работе /1/, может оказаться порядка четверти  $\sigma_T^{VN}$  - сечения взаимодействия поперечно-поляризованных  $V^0$ -мезонов с нуклонами.

Существуют также независимые теоретические соображения /2/, допускающие малость сечения взаимодействия продольно-поляризованных  $V^0$ -мезонов с нуклонами.

Непосредственное определение величин  $\sigma_L^{VN}$  для  $V^0$ -мезонов возможно из анализа реакций  $\pi^- A \rightarrow V^0 A'$ , в которых рождается большая доля продольно-поляризованных  $V^0$ -мезонов<sup>/3/</sup>. При этом для установления различия между сечениями  $\sigma_L^{VN}$  и  $\sigma_T^{VN}$  полезно было бы исследовать зависимость от атомного номера относительного выхода продольно и поперечно поляризованных  $V^0$ -мезонов из мишени, т.е. зависимости от атомного номера элементов матрицы плотности  $\rho^{\lambda\lambda'}$ . Однако возможно определение величин  $\sigma_L^{VN}$  из измерения абсолютного выхода  $V^0$ -мезонов в предположении, что величины  $\sigma_T^{VN}$  известны из данных по когерентному фоторождению  $V^0$ -мезонов на ядрах. При этом связь сечений образования  $V^0$ -мезонов на ядерной мишени и на нуклоне, согласно работе<sup>/3/</sup>, дается следующим выражением:

$$\frac{d\sigma^A}{dt} = \frac{Z}{A} \left( \frac{A-Z}{A} \right) \frac{d\sigma^0}{dt} [N(\sigma_\pi, \sigma_L^{VN})\rho_{00} + (1-\rho_{00})N(\sigma_\pi, \sigma_T^{VN})] / 1/$$

здесь  $\frac{d\sigma^A}{dt}$  - дифференциальное сечение процесса рождения на ядре  $1+A \rightarrow 2+A'$ ,  $\frac{d\sigma^0}{dt}$  - дифференциальное сечение процесса рождения на нуклоне  $1+N \rightarrow 2+N$ , Z - заряд ядра, A - атомный номер,  $\rho_{00}$  - доля продольно-поляризованных  $V^0$ -мезонов, родившихся в реакции  $\pi^- p \rightarrow V^0 n$ , а  $N(\sigma_1, \sigma_2)$  - эффективные числа, определенные в работе<sup>/4/</sup>.

Результаты экспериментов двух групп по исследованию реакции  $\pi^{-(+)} A \rightarrow \rho^0 A'$  на ядрах  $^{12}C$ <sup>/5/</sup> и  $^{20}Ne$ <sup>/6/</sup> были проанализированы без учета возможной спиновой структуры амплитуды  $\rho N$  взаимодействия, т.е. по формуле:

$$\frac{d\sigma^A}{dt} = \frac{Z}{A} \left( \frac{A-Z}{A} \right) \frac{d\sigma^0}{dt} N(\sigma_\pi, \sigma_{\rho^0}), \quad /2/$$

где  $\sigma_\pi, \sigma_{\rho^0}$  - полные сечения взаимодействия  $\pi^{-(+)}$ -мезонов и  $\rho^0$ -мезонов с нуклонами, соответственно.

Полученное при этом значение

$$\sigma_{\rho N} = (24 \pm 4) \text{ мбн}^{/5/} \quad /3/$$

$$\sigma_{\rho N} = (20 \pm 6) \text{ мбн}^{/6/}$$

близко к значению  $\sigma_T^{\rho N} = /27 \pm 2/ \text{ мбн}$ , полученному из данных по когерентному фоторождению  $\rho^0$ -мезонов на ядрах<sup>/7/</sup>. Это рассматривается авторами работ<sup>/5,6/</sup> как согласие с данными работы<sup>/7/</sup>. С точки зрения формулы /1/, результат /3/ следует рассматривать как примерное равенство сечений  $\sigma_L^{\rho N} = \sigma_T^{\rho N}$ , что расходится с упомянутым выше результатом работы<sup>/1/</sup>  $\sigma_L^{\rho N} = 0,25 \sigma_T^{\rho N}$ .

Это кажущееся расхождение между заключениями о величине  $\sigma_L^{\rho N}$ , основанными на анализе данных о сечениях двух совершенно разных реакций, оказывается, можно преодолеть, если учесть, что  $\pi^+, \pi^-$ -мезоны от распада  $\rho^0$ -мезона в ядре поглощаются заметно сильнее, чем сами  $\rho^0$ -мезоны /особенно продольно-поляризованные/, что должно имитировать увеличение поглощения самого  $\rho^0$ -мезона в ядре, т.е. увеличение сечения  $\rho N$  взаимодействия.

Вопрос об учете нестабильности резонансов в когерентном фоторождении  $V^0$ -мезонов в рамках оптической модели рассмотрен в работе<sup>/8/</sup>. В работе<sup>/9/</sup> этот вопрос исследовался на основе теории Ватсона. Однако здесь не было учтено взаимодействие продуктов распада с нуклонами ядра, поэтому результат ее, по существу, применим лишь к анализу реакций, в которых рождаемая нестабильная частица идентифицируется по слабо взаимодействующим с ядерной материей продуктом распада, таких, как например,  $\gamma A \rightarrow V^0 A \rightarrow e^+ e^-$  или  $\pi^- A \rightarrow A' V^0 \rightarrow e^+ e^-$  и т.д.

Нетрудно записать выражение для амплитуды когерентного и сечения некогерентного процесса, исходя из общефизических соображений:

$$F^C = \int d\mathbf{r} \rho(\vec{r}) A(\vec{r}, \sigma_i, \vec{e}_i, q_i), \quad /4/$$

причем  $\frac{d\sigma^C}{d\Omega dm^2 d\sigma} = |F^C|^2$ ,

$$\frac{d\sigma^{IC}}{d\Omega dm^2 d\sigma} = \int d\vec{r} \rho(\vec{r}) |A(\vec{r}, \sigma_i, \vec{e}_i, q_i)|^2, \quad /5/$$

где

$$A(\vec{r}, \sigma_i, \vec{e}_i, q_i) = \frac{1}{2\pi} \sqrt{\frac{\gamma}{p}} \int_0^\infty ds \exp \left\{ -\frac{\sigma'_1}{2} \int_0^s \rho(\vec{r} - \vec{e}_1 s') ds' \right.$$

$$\left. - \frac{\sigma'_2}{2} \int_0^s \rho(\vec{r} + \vec{e}_2 s') ds' - s(\gamma - i\lambda) \right. \quad /6/$$

$$\left. - \sum_{k=3,4} \frac{\sigma'_k}{2} \int_0^\infty \rho(\vec{r} + \vec{e}_2 s' + \vec{e}_k s'_k) ds'_k + i\vec{q}\vec{r} \right\} f(\vec{q}),$$

$$\gamma = \frac{\Gamma_2 \cdot m_2}{p}, \quad \lambda = \frac{m^2 - m_2^2}{p}, \quad \vec{e}_i = \frac{\vec{p}_i}{|p_i|}$$

$\vec{q} = \vec{p}_1 - \vec{p}_3 - \vec{p}_4$  - передача импульса ядру,  $i=1,2,3,4$  - индексы, относящиеся к падающей частице, родившейся нестабильной частице и к частицам - продуктам распада нестабильной частицы, соответственно,  $d\Omega$  - элемент телесного угла в направлении суммарного импульса частиц - продуктов распада в лабораторной системе координат,  $m^2$  - квадрат эффективной массы рождаемой системы,  $d\sigma$  - элемент телесного угла в направлении относительного импульса продуктов распада в системе их центра масс,  $\rho(\vec{r})$  - плотность материи в ядре,  $f(\vec{q})$  - амплитуда реакции  $1+N \rightarrow 2+N$ .

Расчет величин /4/ и /5/ в случае произвольных направлений вылета продуктов распада и произвольной ядерной плотности должен производиться численно.

Для оценки порядка величины исследуемого эффекта мы рассмотрим случай рождения резонанса и вылета продуктов его распада под малыми углами к направлению импульса падающей частицы, так что приближенно  $\vec{e}_1 \approx \vec{e}_2 \approx \vec{e}_3 \approx \vec{e}_4$ . В этом случае амплитуда  $A(\vec{r}, \sigma_i, \vec{e}_i, q_i)$  может быть представлена в виде

$$A(\vec{r}, \vec{e}_i, \sigma_i, q_i) = \frac{1}{4\pi} \sqrt{\frac{\gamma}{p}} e^{i\vec{q}\vec{r}} \times$$

$$\times \int_z^\infty dz_1 \exp \left[ -\frac{\sigma'_1}{2} \int_{-\infty}^z \rho(\vec{b}, z') dz' - \right.$$

$$\left. - \frac{\sigma'_2}{2} \int_z^{z_1} \rho(\vec{b}, z') dz' - \frac{(\gamma - i\lambda)}{2} (z_1 - z) - \right.$$

$$\left. - \frac{\sigma'_3 + \sigma'_4}{4} \int_{z_1}^\infty \rho(\vec{b}, z') dz' \right] f(\vec{q}) =$$

$$= \frac{1}{4\pi} \sqrt{\frac{\gamma}{p}} \frac{1}{\gamma - i\lambda} e^{i\vec{q}\vec{r}} \exp \left[ -\frac{\sigma'_1}{2} \int_{-\infty}^z \rho(\vec{b}, z') dz' - \right.$$

$$\left. - \frac{\sigma'_3 + \sigma'_4}{2} \int_z^\infty \rho(\vec{b}, z') dz' \right] - (\sigma'_3 + \sigma'_4 - \sigma'_2) \int_z^\infty \rho(\vec{b}, z') dz'$$

$$\exp \left[ -\frac{\sigma'_1}{2} \int_{-\infty}^z \rho(\vec{b}, z') dz' - \frac{\sigma'_2}{2} \int_z^{z_1} \rho(\vec{b}, z') dz' - \right.$$

$$\left. - \frac{(\gamma - i\lambda)}{2} (z_1 - z) - \frac{\sigma'_3 + \sigma'_4}{2} \int_z^\infty \rho(\vec{b}, z') dz' \right] f(\vec{q}) =$$

$$\sigma'_i = \sigma_i (1 - i a_i),$$

$\sigma_i$  - полное сечение взаимодействия с нуклоном,  $a_i$  - отношение реальной части амплитуды рассеяния к мнимой на угол нуль,  $i=1,2,3,4$ . Во втором слагаемом в правой части выражения /7/ верхний предел интегрирования по  $z_1$  ограничен размерами ядра и в модели однородной сферы ( $\rho(\vec{r}) = \rho_0 = \text{const}$ ).

$$z_1 - z = (\rho_0)^{-1} \int_z^{z_1} \rho(\vec{b}, z') dz'.$$

В общем случае произвольной плотности величина  $\rho_0^{-1}$  должна быть заменена неким средним значением обратной величины плотности  $\langle \rho^{-1}(r) \rangle$ .

Введя комплексную величину  $\Delta\sigma'$  с размерностью сечения  $\Delta\sigma' = \rho_0^{-1}(\gamma + i\lambda)$  и выполнив интегрирование по  $z_1$ , получим:

$$A(\vec{b}, z, \vec{q}) = \frac{1}{2\pi} \sqrt{\frac{\tilde{\gamma}}{P}} \frac{e^{i\vec{q}\vec{r}} f(\vec{q})}{\tilde{\gamma} - \gamma - i(\tilde{\lambda} - \lambda)} \quad /8/$$

$$\left\{ \frac{\tilde{\gamma} - i\tilde{\lambda}}{\gamma - i\lambda} \exp\left[-\frac{\sigma'_1}{2} T_-(\vec{b}, z) - \frac{\sigma'_2 + \Delta\sigma'}{2} T_+(\vec{b}, z)\right] - \exp\left[-\frac{\sigma'_1}{2} T_-(\vec{b}, z) - \frac{\sigma'_3 + \sigma'_4}{2} T_+(\vec{b}, z)\right] \right\},$$

$$\tilde{\gamma} = \rho_0(\sigma_3 + \sigma_4 - \sigma_2), \quad \tilde{\lambda} = \rho_0(a_3\sigma_3 + a_4\sigma_4 - a_2\sigma_2)$$

$$T_-(\vec{b}, z) = \int_{-\infty}^z \rho(\vec{b}, z') dz', \quad T_+(\vec{b}, z) = \int_z^{\infty} \rho(\vec{b}, z') dz'$$

Подставив эту величину в выражение /5/ для сечения некогерентного рождения и выполнив интегрирование по  $z$ , получим окончательно:

$$\frac{d\sigma^{IC}}{d\Omega dm^2 d\sigma} = \frac{\gamma}{4\pi^2 P} \frac{1}{(\tilde{\gamma} - \gamma)^2 + (\tilde{\lambda} - \lambda)^2} \left[ \frac{\tilde{\gamma}^2 + \tilde{\lambda}^2}{\gamma^2 + \lambda^2} N(\sigma_1, \sigma_2 + \Delta\sigma) - \right]$$

/9/

$$2\text{Re} \frac{\tilde{\gamma} - i\tilde{\lambda}}{\gamma - i\lambda} N\left(\sigma_1, \frac{\sigma'_2 + \sigma'_3 + \sigma'_4 + \Delta\sigma'}{2}\right) + N(\sigma_1, \sigma_3 + \sigma_4)].$$

Из /9/ видно, что зависимость сечения от массы  $2\pi$ -системы довольно сложна. Помимо обычного брейт-вигнеровского знаменателя, появляются другие, как например,

$$[\tilde{\gamma} - \gamma - i(\tilde{\lambda} - \lambda)]^{-1}, \quad \left[ \frac{\sigma'_2 + \Delta\sigma' + \sigma'_3 + \sigma'_4}{2} - \sigma'_1 \right]^{-1} \quad /10/$$

имеющие тот же резонансный характер, но с отличной от  $\gamma$  шириной

$$\gamma_1 = \tilde{\gamma} - \gamma, \quad \gamma_2 = (\sigma_2 + \sigma_3 + \sigma_4 + \Delta\sigma - 2\sigma_1) \rho_0 \quad /11/$$

и смещенным положением центра масс из-за  $a_i \neq 0$ . Если рассматривать реакцию  $\pi^- A \rightarrow \rho^0 A'$  и положить

$$\text{при } P = 3,7 \text{ ГэВ/с, } \sigma_\pi(P) = 30 \text{ мбн, } \sigma_3\left(\frac{P}{2}\right) + \sigma_4\left(\frac{P}{2}\right) = 70 \text{ мбн,}$$

то получим, что как для поперечно-поляризованных  $\rho^0$ -мезонов  $\sigma_T = 27 \text{ мбн}$ , так и для продольно-поляризованных  $\sigma_L = 7 \text{ мбн}$  при  $\rho_0 \approx 0,15F^{-3}$ /тяжелые ядра/ ширины  $\gamma_{1,2}$  превышают более чем в два раза величину  $\gamma$ . Поэтому соответствующие слагаемые в сечении будут выглядеть как фоновые, обычно отбрасываемые при обработке экспериментальных данных.

Таким образом, задача сводится к выделению коэффициента при брейт-вигнеровском члене /с обычной шириной  $\gamma$  / в выражении /9/, что, как легко убедиться, сводится к вычислению соответствующих вычетов в точках  $\gamma = \pm i\lambda$  и сложению результатов.

Пренебрегая для простоты малыми величинами

$$a_i = \frac{\text{Re} f_i(0)}{\text{Im} f_i(0)}, \quad \text{получим:}$$

$$\frac{d\sigma^{B.W.}}{d\Omega dm^2 d\sigma} = \frac{Z}{A} \left( \frac{A-Z}{A} \right) \tilde{N} \frac{d\sigma_0^{B.W.}}{d\Omega dm^2 d\sigma},$$

$$\frac{d\sigma_0^{B.W.}}{d\Omega dm^2 d\sigma} = \frac{1}{4\pi^2 P} \frac{\gamma}{\gamma^2 + \lambda^2} \frac{d\sigma_0}{d\Omega},$$

$$\tilde{N} = (\sigma_3 + \sigma_4 - \sigma_2 - 2\Delta\sigma)^{-1} \times \quad /12/$$

$$[(\sigma_3 + \sigma_4 - \sigma_2)N(\sigma_1, \sigma_2 + \Delta\sigma) - 2\Delta\sigma N(\sigma_1, \frac{\sigma_2 + \sigma_3 + \sigma_4}{2})].$$

$\frac{d\sigma_0}{d\Omega}$  - сечение реакции  $\pi^{-(+)} + p(n) \rightarrow \rho^0 + n(p)$ ,

Таким образом, при учете нестабильности коэффициентом пропорциональности, связывающим "резонансную" часть сечения рождения  $2\pi$  системы на ядре с сечением рождения резонанса на нуклоне является не просто эффективное число  $N(\sigma_1, \sigma_2)$ , а некоторая линейная комбинация подобного рода величин.

В пределе  $\rho \rightarrow \infty$ ,  $\Delta\sigma \rightarrow 0$   $\tilde{N} \rightarrow N(\sigma_1, \sigma_2)$ , как и должно быть. Если теперь пытаться аппроксимировать величину  $\tilde{N}$  некоторым числом Марголиса  $N(\sigma_1, \bar{\sigma}_{\rho N})$  с "эффективным" значением сечения  $\rho N$ -взаимодействия  $\bar{\sigma}_{\rho N}$ , то для  $\bar{\sigma}_{\rho N}$  получится значение, отличное от истинного  $\sigma_{\rho N}$ .

На рис. 1 показана зависимость от атомного номера  $A$  величин  $\tilde{N}$  для  $\sigma_T^{\rho N} = \sigma_{\rho N} = 27 \text{ мбн.}$  /кривая а/,  $\sigma_L^{\rho N} = \sigma_{\rho N} = 7 \text{ мбн.}$  /кривая б/ и  $\sigma_L^{\rho N} = \sigma_{\rho N} = 0$  /кривая с/, а также линейных комбинаций вида  $N_T \bar{\rho}_{00} + \tilde{N}_L (1 - \bar{\rho}_{00})$ ,

где  $\bar{\rho}_{00} \approx 0,5$  /10/,  $\sigma_T^{\rho N} = 27 \text{ мбн.}$ ,  $\sigma_L^{\rho N} \sim 57 \text{ мбн.}$  /кривая д /;  $\sigma_T^{\rho N} = 27 \text{ мбн.}$ ,  $\sigma_L^{\rho N} = 0$  /кривая е /, рассчитанных в модели однородной сферы, где радиус ядра выбирался так, чтобы среднеквадратичный радиус совпадал с соответствующей величиной в модели Ферми. Пунктирные кривые соответствуют числам  $N(\sigma_\pi, \bar{\sigma}_{\rho N})$ , причем значения "эффективных" сечений  $\bar{\sigma}_{\rho N}$  следующие: а/  $30 \text{ мбн.} < \bar{\sigma}_{\rho N} < 31$ ; б/  $12 \text{ мбн.} < \bar{\sigma}_{\rho N} < 13 \text{ мбн.}$ ; с/  $\bar{\sigma}_{\rho N} > 6 \text{ мбн.}$ ; д/  $20 \text{ мбн.} < \bar{\sigma}_{\rho N} < 21 \text{ мбн.}$ ; е/  $16 \text{ мбн.} < \bar{\sigma}_{\rho N} < 17 \text{ мбн.}$  Видно, что учет распада  $\rho^0$ -мезона внутри ядра приводит к заметной имитации увеличения сечения  $\rho N$ -взаимодействия и даже нулевое значение сечения взаимодействия продольно поляризованных  $\rho^0$ -мезонов с нуклонами не противоречит данным работ /5,6/. Последнее обстоятельство позволяет согласовать данные группы /8/ и точку зрения на  $A_1$ -мезон как на Deck-Effect.

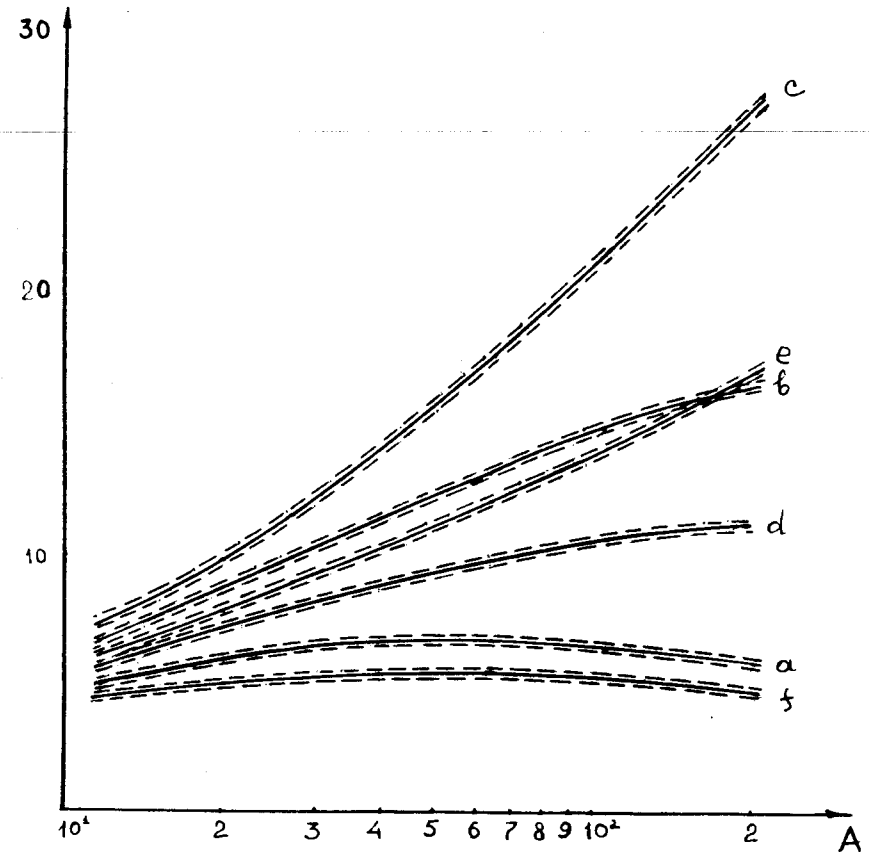


Рис. 1

Обсудим кратко ситуацию с большим значением сечения взаимодействия  $f$ -мезона с нуклонами.

Ввиду того, что величины  $\gamma_{1,2}$  в случае рождения  $f$ -мезона сравнимы с его шириной  $\gamma_f$ , слагаемые в сечении /9/ для  $\rho^0$ -мезона, выглядевшие как фоновые, здесь таковыми не являются.

Форма распределения по массам в этом случае не является строго брейт-вигнеровской, но малость статистики в /6/ не позволяет провести детальное сравнение теории и эксперимента. Поэтому сколько-нибудь правдоподобные заключения о сечении  $fN$ -взаимодействия можно получить лишь на основании сравнения полных, т.е. проинтегрированных по спектру масс рожденной системы, сечений рождения  $f$ -мезона на ядре и на нуклоне. Интегрируя по  $dm^2$  выражение /5/, получим при

$$\epsilon_1 \approx \epsilon_2 \approx \epsilon_3 \approx \epsilon_4$$

$$\frac{d\sigma^A}{d\Omega} = \frac{Z}{A} \left( \frac{A-Z}{A} \right) + \frac{d\sigma_0}{d\Omega} \approx \bar{N}, \quad /13/$$

где

$$\bar{N} = \frac{\gamma}{\pi p} \int dz d\vec{b} \rho(\vec{b}, z) \times$$

$$\times \int_z^\infty dz_1 \exp \left[ -\sigma_1 \int_{-\infty}^z \rho(\vec{b}, z') dz' - \sigma_2 \int_z^{z_1} \rho(\vec{b}, z') dz' - \right.$$

$$\left. - \gamma(z_1 - z) - (\sigma_3 + \sigma_4) \int_{z_1}^\infty \rho(\vec{b}, z') dz' \right],$$

что в описанных выше приближениях сводится к следующей комбинации эффективных чисел:

$$\bar{N} \approx \frac{\sigma_{2\pi} - \sigma_f}{\sigma_{2\pi} - \sigma_f - \Delta\sigma} \times$$

$$\left[ N(\sigma_1, \sigma_f + \Delta\sigma) - \frac{\Delta\sigma}{\sigma_{2\pi} - \sigma_f - \Delta\sigma} N(\sigma_1, \sigma_{2\pi}) \right]$$

$$(\Delta\sigma = \frac{\Gamma_f m_f}{p_f \rho_0}, \Gamma_f, m_f, p_f \text{ аналогичны соответствующим}$$

величинам для  $\rho^0$ -мезона,  $\sigma_{2\pi}, \sigma_f$  - полные сечения взаимодействия системы двух  $\pi$ -мезонов и  $f$ -мезона с нуклоном/.

Зависимость величины  $\bar{N}$  от атомного номера  $A$ , рассчитанная в модели однородной сферы при  $\sigma_f = \sigma_T^{\rho N} = 27 \text{ мбн}$ , дается на рис. 1 кривой  $f$ . /Мы не учи-

тываем возможного различия между сечениями взаимодействия  $f$ -мезона разной спиральности с нуклоном и полагаем их равными между собой/. Пунктирные линии соответствуют зависимости от атомного номера  $A$  величин  $N(\sigma_{2\pi}, \bar{\sigma}_f)$  с  $\bar{\sigma}_f = 38 \text{ мбн}$ /верхняя кривая/ и  $\bar{\sigma}_f = 39 \text{ мбн}$ /нижняя кривая/.

Хотя большие ошибки эксперимента и без того не исключали значения  $\sigma_f = \sigma_T^{\rho N} = 27 \text{ мбн}$ , тем не менее видно, что учет эффектов нестабильности позволяет значительно понизить верхнюю и нижнюю оценки на величину сечения  $fN$ -взаимодействия.

Авторы выражают глубокую благодарность С.Р.Геворкяну, Ю.М.Зайцеву, Л.И.Лapidусу, Г.П.Лексину и Ю.Ф.Ломакину за интерес к работе и стимулирующие обсуждения.



## Литература

1. J.J.Sacurai, D.Schildknecht. *Phys.Lett.*, 40B, 1, 121, 1972.
2. G.Rajasekaran. (TIFR/TH/71-16).
3. С.Р.Геворкян, А.В.Тарасов. *Письма ЖЭТФ*, 15, 684, 1972.
4. K.S.Koelbig, B.Margolis. *Nucl.Phys.*, B6, 85, 1968.
5. А.В.Арефьев и др. *Препринт ИТЭФ-46*, 1973.
6. B.S.Chandhary, S.N.Ganguli, A.Gurtu et al. *Nucl.Phys.*, B67, 2, 333, 1973.
7. H.Alvensleben et al. *Nucl.Phys.*, B18, 333, 1970.
8. C.Bemporad, W.Bensch, P.Melissinos et al. *Nucl.Phys.*, B33, 397, 1971.
9. С.Р.Геворкян, А.В.Тарасов, Ч.Цэрэн. *Препринт ОИЯИ Р2-5604*, Дубна, 1970.
10. R.J.Miller et al. *Phys.Rev.*, 178, 2061, 1963.

Рукопись поступила в издательский отдел  
22 июля 1974 года.